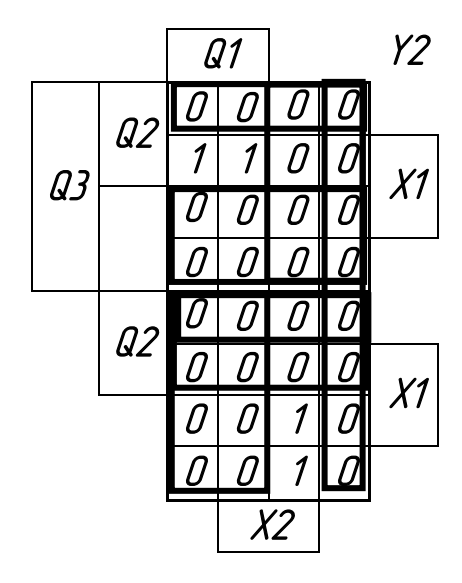
		b	71			Y1
	Q2	0	0	0	0	
Q3	UZ.	0	0	0	0	V1
כש		1	1	0	0	\ \ \ \ \ \ \ \ \ \ \ \ \ \ \ \ \ \ \
		1	1	0	0	
	Q2	Ū	q	0	0	
	WZ	0	4	0	0	X1
		0	4	1	0	ΛΙ
		0	حا	1	0	
	•		λ	2		-

 $Y1 = (\overline{Q1} \ \overline{X2}) \ (Q2) \ (\overline{Q3} \ Q1) \ (Q3 \ \overline{Q1}) \ \ (\overline{Q1} \ \overline{X2})$ 



Y2= (Q1 X2) (Q3 Q2) (Q3 Q1) (Q3 Q1) (Q3 Q2) (Q2 X1)

		6	71			<i>Y3</i>
	<i>Q2</i>	U	O	1	1	
Q.3	WZ	0	0	1	1	V1
כש		1	1	1	1	<i>\( 1</i>
		1	1	1	1	
	Q2	1	0	0	0	
	WZ	1	0	0	0	X1
		1	1	0	1	<i>\( 1 \)</i>
		1	1	0	1	
			λ	2		1

Зм.	Арк.	№ докум.	Підп.	Дата

Арк.

5

Y3= (Q3 Q2 Q1) (Q3 Q1 X2) (Q3 Q2 X2) (Q3 Q2 Q1)

		G	71			Y4,5
	Q2	U	0	0	0	
Q3	WZ	0	0	0	0	X1
כט	ر	0	0	0	0	ΛΙ
		0	0	0	0	
	Q2	0	0	1	1	
	WZ	0	0	1	1	X1
		0	0	0	0	<i>\( 1</i>
		0	0	0	0	
	'		λ	2		•

Y4,5= (Q3) (Q2) (Q1)

Рисунок 4.3.1 Діаграми Вейча для функцій управляючих сигналів

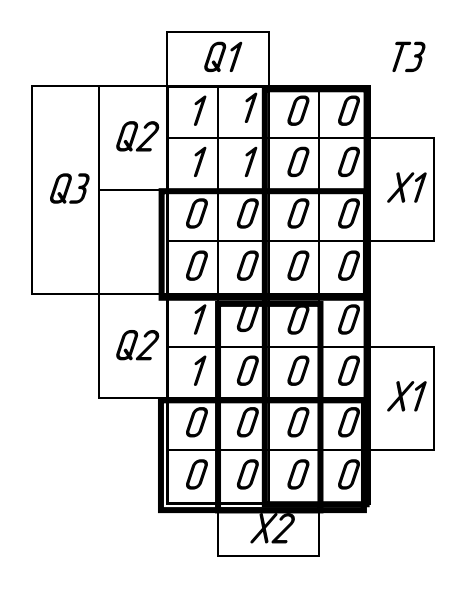
		6	71			<i>T1</i>
	Q2	1	1	1	1	
<i>Q3</i>	WZ	1	1	1	1	X1
כש		1	1	1	1	<i>\( 1</i>
		1	1	1	1	
	Q2	1	1	1	1	
	WZ	1	1	1	1	X1
		1	1	0	1	<i>\( 1</i>
		1	1	0	1	
	!		λ	2		1

T1= (Q3 Q2 Q1 X2)

Зм.	Арк.	№ докум.	Підп.	Дата

		(	Q1			<i>T2</i>
	02	1	1	0	0	
Q3	Q2	1	1	0	0	X1
כש		1	1	0	0	\ \ \ \ \ \ \ \ \ \ \ \ \ \ \ \ \ \ \
		1	1	0	0	
	Q2	1	0	0	0	
	WZ	1	0	0	0	X1
		1	1	1	0	\ \ \ \ \ \ \ \ \ \ \ \ \ \ \ \ \ \ \
		1	1	1	0	
			X	2		_1

T2= (\overline{Q2} \vec{X2}) (Q3 \overline{Q1}) (\overline{Q3} \overline{Q2} \times 22)



T3= (Q1) (Q2) (Q3 X2)

Рисунок 4.3.2 Діаграми Вейча для функцій збудження тригерів

## 2.6. Побудова схеми автомата в заданому базисі

Отриманих після мінімізації даних достатньо для побудови комбінаційних схем функцій збудження тригерів і функцій сигналів виходів, таким чином, і всієї комбінаційної схеми. Автомат будуємо на Т-тригерах. Автомат є синхронним, так як його роботу синхронізує генератор, а Т-тригер керований перепадом сигналу.

Зм.	Арк.	№ докум.	Підп.	Дата